

PAPER DETAILS

TITLE: Dolar ve Euro kurlari ile BIST 100 endeksi getiri oynakliginin modellemesi ve yayilimi:
GARCH ve MGARCH modelleri ile bir uygulama

AUTHORS: Özlem ALTUN,Emre Esat TOPALOGLU

PAGES: 125-133

ORIGINAL PDF URL: <https://dergipark.org.tr/tr/download/article-file/2639528>



Ardahan Üniversitesi İktisadi ve İdari Bilimler Fakültesi Dergisi

<https://dergipark.org.tr/tr/pub/aruiibfdergisi>



Dolar ve Euro kurları ile BİST 100 endeksi getiri oynaklığının modellemesi ve yayılımı: GARCH ve MGARCH modelleri ile bir uygulama*

Modeling and spillover of BIST 100 index return volatility with Dollar and Euro exchange rates: an application with GARCH and MGARCH models

Özlem Altun^a, Emre Esat Topaloğlu^{b**}

^a Bilim Uzmanı, Şırnak Üniversitesi, Lisansüstü Eğitim Enstitüsü, Şırnak, Türkiye, altunozlem.1994@gmail.com, ORCID: 0000-0002-1609-5812

^b Doç. Dr., Şırnak Üniversitesi, İİBF, İşletme Bölümü, Şırnak, Türkiye, emresatopal@sirnak.edu.tr, ORCID: 0000-0001-8771-779X

MAKALE BİLGİSİ

Makale geçmişi:

Başvuru: 8 Eylül 2022

Kabul: 19 Eylül 2022

Anahtar kelimeler:

Volatilite Yayılımı,

GARCH,

Diagonal-VECH

Makale türü:

Araştırma makalesi

ÖZET

Bu çalışmada, USD-EURO kurları ve BIST 100 endeksi getiri serilerinin oynaklık modellemesi yapılmış ve aralarındaki volatilite yayılımı incelenmiştir. Veriler 2000-2019 dönemi haftalık olarak ele alınmıştır. Serilerin oynaklık modellemesinde ARCH-GARCH, volatilite yayılımlarında ise MGARCH modellerinden yararlanılmıştır. Analiz sonucuna bakıldığından, oynaklık modellemesinde USD ve EURO serileri için GARCH(1,1), BIST 100 endeksi getiri serisi için EGARCH(1,1) modelinin uygun olduğu tespit edilmiştir. Ayrıca seriler arasında volatilite yayılımı gözlemlenmiş ve en yüksek ilişki seviyesinin USD-EURO serileri arasında olduğu sonucuna ulaşılmıştır.

ARTICLE INFO

Article history:

Received: 8 September 2022

Accepted: 19 September 2022

Keywords:

Volatility Spillover,

GARCH,

Diagonal-VECH

Article type:

Research article

ABSTRACT

In this study, the volatility modeling of the USD-EURO exchange rates and the BIST 100 index return series and to reveal the volatility spillover between them is analyzed. The data were considered weekly for the period 2000-2019. Volatility structure of the were firstly determined by ARCH-GARCH models and then the volatility spillover among them was determined by MGARCH models. Looking at the analysis result, it is determined that GARCH(1,1) model is suitable for USD and EURO series and EGARCH(1,1.) model is suitable for BIST 100 index return series in volatility modeling. Was concluded that the highest correlation level was between the USD-EURO series.

* Çalışma, Özlem Altun'un 2020 yılında yüksek lisans tezinden üretilmiştir.

** Sorumlu yazar / Corresponding author

E-posta / E-mail: emresatopal@hotmail.com

Atıf / Citation: Altun, Ö. ve Topaloğlu, E. E. (2022). Dolar ve Euro kurları ile BİST 100 endeksi getiri oynaklığının modellemesi ve yayılımı: GARCH ve MGARCH modelleri ile bir uygulama. *Ardahan Üniversitesi İİBF Dergisi*, 4(2), 125-133.

1. Giriş

Finansal piyasalarda varlıkların fiyatlarında oluşan değişimler yatırımcıların yatırım kararı almasında etkin rol oynamaktadır. Bir piyasada fiyatlarda meydana gelen oynaklıklar volatilite kavramını ifade etmektedir. Bu oynaklıklar simetrik olan ARCH, GARCH ve asimetrik olan EGARCH, TGARCH, APGARCH, IGARCH koşullu değişen varyans modelleri ile tahmin edilebilmektedir. Volatilitenin yüksek olduğu piyasalarda risk oranı yüksek, düşük olduğu piyasalarda risk oranı düşüktür. Yatırımcı minimum risk ile maksimum getiri kazancı elde etmek isteyeceğinden volatilitenin düşük olduğu piyasalara yönelmektedir.

Finansal piyasalar arası küreselleşme ile daha da artmaya başlayan etkileşimler, bir piyasadaki oynaklığın diğer bir piyasaya olumlu ya da olumsuz yayılmasına sebep olabilmektedir. Volatilite yayılımı karşılıklı bağımlılıkları yüksek olan piyasalarda daha etkilidir. CCC-MGARCH, DIAGONAL VECM ve DIAGONAL BEKK modelleri volatilite yayılımının tahmininde kullanılan modellerdir.

Araştırmannın amacı, Dolar, Euro ve BIST100 endeksi getiri serilerinin oynaklık modellemelerini ve seriler arasındaki volatilite yayılımlarını tespit etmektedir. Oynaklık modellemeleri ARCH-GARCH, volatilite yayılımları ise MGARCH modelleri ile incelenmiştir. Çalışma sonucu elde edilen bulguların politika uygulayıcılarının, bireysel ve kurumsal yatırımcıların alacakları yatırım kararları için önem arz ettiğini düşünülmektedir.

2. Literatür Taraması

Literatürde oynaklığın modellenmesi ve volatilite yayılımı konuları üzerine yapılan çeşitli araştırmalar yer almaktadır. Yu (2002), günlük olarak ele aldığı Yeni Zelanda hisse senedi verilerinin volatilitesini modellemiştir. ARCH modellerini kullanmıştır. Elde etiği sonucunda GARCH (3,2) modelinin önlemlerin seçiminde duyarlı olduğu ortaya çıkmıştır. Nagayasu (2004), 1991-2001 dönemlerini ele alarak Japonya günlük kur verileri oynaklığını GARCH modelleriyle incelemiştir. Çalışma sonucunda kurlar üzerinde müdahalelerin etkili olduğu gözlemlenmiştir. Su ve Knowles (2006) GARCH modellerinden yararlandıkları çalışmalarında Asya Pasifik ülkelerindeki borsa endeksi oynaklılarının modellemesini yapmışlardır. Sonuç olarak Endonezya ve Kore borsa endekslerinin oynaklıği yüksek çıkmıştır. Erjavec ve Cota (2007) çalışmalarında Zagreb Menkul Kıymetler Borsası'ndaki oynaklığı modellermeye çalışmışlar ve GARCH modellerinden faydalananlardır. Elde ettikleri sonucu iç ilişkilerin borsadaki oynaklığa fazla etki etmediği ortaya çıkmıştır. Başçı (2011) tarafından yapılan çalışmada 2002-2010 dönemlerine ait veriler kullanılarak İMKB Sımai ve Mali endekslerinin günlük oynaklıkları karşılaştırılmış, GARCH ve TGARCH modellerinden faydalanılmıştır. TGARCH(1,1) modelinin oynaklık tahmininde başarılı olduğu sonucuna ulaşmıştır. Kendirli ve Karadeniz (2012) ARCH ve GARCH tekniklerini kullanarak İstanbul Menkul Kıymetler Borsası 30 endeksinin 2008-2012 dönemi günlük verileri kapsamında volatilite modellemesini incelemiştir. Riskin önceden belirlenebilmesinin yatırım kararı alınırken önemli olduğunu elde ettikleri sonuç ortaya koymuştur. Nyoni (2018) çalışmasında, Zimbabwe'deki aylık enflasyonun volatilitesini GARCH modeli ile modellemiştir. GARCH(1,1) modelinin en iyi model olduğunu söylemiştir. Yaman ve Koy (2019), ABD doları/ TL kurunun volatilitesini modellemiş ve ARCH modelini kullanmışlardır. TARCH (1,1) modelinin ABD doları/TL kuru volatilitesini daha iyi tanımladığı sonucuna ulaşmıştır.

Miyakoshi (2003) çalışmasında, Japonya'dan yedi Asya ülkesine ve Amerika'ya yönelik getiri ve volatilite yayılımını araştırmıştır. Hisse senedi

günlük kapanış fiyatlarını 1998-2000 dönemleri kapsamında ele alarak GARCH tipi modeller kullanmıştır. Elde etiği analiz sonucu değerlendirildiğinde göre Japonya'dan Asya piyasalarına oynaklık yayılımının fazla çıktıığı görülmüştür. Inagaki (2007), İngiliz sterlini ve Euro arasındaki oynaklık yayılımını incelemiştir, GARCH modelinden yararlanmış ve Euro'dan İngiliz sterlinine doğru tek yönlü yayılımın gerçekleştiğini tespit etmiştir. Demirgil ve Gök (2014) Fransa, Birleşik Krallık ve Almanya piyasaları ve Türkiye pay piyasası arasındaki oynaklık yayılımını incelemiştir. 2 Ocak 2002-30 Eylül 2013 gün sonu verilerini ele almışlar ve VAR-EGARCH modelini kullanmışlardır. Almanya piyasasının getiri ve volatilitenin en büyük yayıcısının olduğu sonucuna ulaşmışlardır. Gök ve Kalaycı (2014), BIST30 Spot ve Futures piyasalarında volatilite yayılımını araştırmışlardır. VECM-GARCH(1,1)-BEKK modelini uygulamışlardır. Spot piyasa ve endeks futures volatiliterleri arasında iki yönlü yayılımın var olduğunu gözlemlemişlerdir. Kılıç ve Dilber (2017) çalışmalarda, Türkiye'deki dolar kuru volatilitesinin ve enflasyonun BIST100 endeksi oynaklısına etkisini incelemiştir. GARCH(1,1) modeli kullanmışlardır. Dolar kuru volatilitesinin BIST100 endeksinin oynaklığını düşürdüğünü, enflasyon volatilitesinin ise BIST100 endeksinin oynaklığını artırdığı sonucuna ulaşmışlardır.

3. Metodoloji

Araştırma kapsamında, 28.05.2000-26.05.2019 tarihleri arasındaki USD/TL kuru, EURO/TL kuru ve BIST 100 endeksinin haftalık verileri ele alınmıştır. Çalışmada Dolar, Euro ve BIST 100 endeksi getiri serilerinin oynaklık modellemesi genelleştirilmiş otoregresif koşullu değişen varyans modelleri yöntemleri ile seriler arasındaki volatilite yayılımları ise Diagonal VECM ve CCC (Constant Conditional Correlations) modelleri ile analiz edilmiştir.

Oynaklık modellemelerinden Engle tarafından geliştirilmiş ARCH modeli ve Bollerslev tarafından geliştirilen ve sonsuz bir ARCH tanımlaması içeren GARCH modelinde varyansın etkisi simetiktir. Bu durum negatif ve pozitif şokların oynaklığa etki derecelerinin aynı olmasını ifade etmektedir. Bu etkinin ayrışmasının yapılabilmesi için GARCH modeli geliştirilmiştir (Topaloğlu, 2020). Nelson tarafından geliştirilen EGARCH (Üssel GARCH) modeli kaldıraç etkilerine izin verip oynaklıktaki asimetri oluşturduğundan yanlış tanımlamaları önleyebilmektedir (Tseng vd., 2008:3193). Kaldıraç etkilerini test etmek için kullanılan yaygın modellerden biri de Zakoian'ın geliştirdiği TGARCH (Eşik GARCH) modelidir (Abdalla ve Winker, 2012). Olumlu veya olumsuz bir şokun piyasaya etkisini test eden modelin varyans denklemi şöyledir:

$$h_t = \alpha_0 + \sum_{i=1}^q \alpha_i u_{t-i}^2 + \gamma_i u_{t-i}^2 d_{t-1} \sum_{i=1}^p \beta_i h_{t-i} \quad (1)$$

γ katsayısı kaldıraç ya da asimetri parametresidir. İyi haberler ise α_i etkisine, kötü haberler $\alpha_i + \gamma_i$ etkisine sahiptir ve γ pozitif yani anlamlı ise negatif şokların σ_t^2 üzerindeki etkisi pozitif şoklara kıyasla daha fazladır (İşcioğlu ve Gülay, 2018). Ding'in ortaya attığı APGARCH modelinde kötü ve iyi haberlerin gelecekteki oynaklıkları öngörelebilirdir. Modelin denklemi şöyledir:

$$\sigma_t^d = \alpha_0 + \sum_{i=1}^q \alpha_i (|\varepsilon_{t-i}| + \gamma_i \varepsilon_{t-i})^d + \sum_{i=1}^p \beta_i \sigma_{t-i}^d \quad (2)$$

γ_i kaldıraç parametresini, d kuvvet parametresini, α_i ve β_i standart ARCH ve GARCH parametrelerini ifade etmektedir. γ_i 'nin negatif ya da pozitif değeri, serinin mevcut koşullu oynaklığını üzerinde geçmiş şoklara

göre daha etkili olmaktadır (Ural ve Demireli, 2015).

Bollerslev tarafından geliştirilen CCC-MGARCH modelleri ile volatilite yayılımının tespit edilmesinde tek değişkenli modellere göre daha etkindir (Topaloğlu, 2019). Model asimetrik davranışlara uymaz ve pozitif kesinlik koşulunu yerine getirmektedir. Modelin varyans denklemi şöyledir:

$$h_{it} = \alpha_{i0} + \sum_{q=1}^{Q_1} \lambda_{iq} e_{i,t-q} + \sum_{p=1}^{P_1} \lambda_{ip} h_{i,t-p} \quad (3)$$

CCC-MGARCH modeli boyutsallıktan uzak olduğu için tahmin edilecek parametrelerin hesaplanması verimli olmaktadır (Hai ve ark., 2012). Diagonal VECH modeli Bollerslev, Engle ve Wooldridge tarafından önerilmiştir ve varyans denklemi şöyledir:

$$h_t = \alpha_0 + \alpha_1 \times \lambda_1 \eta_{t-1} + \cdots + \lambda_q \eta_{t-q} + \gamma_1 h_{t-1} + \gamma_p h_{t-p} \quad (4)$$

Burada kovaryansların ve koşullu varyansın her biri tüm gecikmeli koşullu varyansların bir fonksiyonudur ve model varyansa simetrik tepki verir (Angelache ve ark., 2014). Diagonal VECH modelinin alternatif olan Diagonal BEKK modeli, koşullu varyans matrisinin pozitif kesinliğini ortaya koymaktadır (Rossi ve Spazzini, 2010). Modelin varyans denklemi şöyledir:

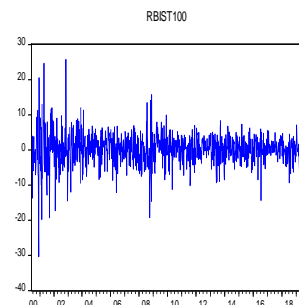
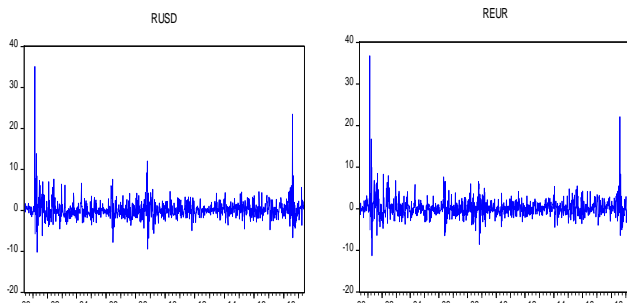
$$h_t = \alpha_0 \alpha_0^T + \sum_{k=1}^K \sum_{i=1}^q A_{ki}^T \varepsilon_{t-i} \varepsilon_{t-i}^T A_{ki} + \sum_{k=1}^K \sum_{j=i}^p B_{kj}^T H_{t-j} B_{kj} \quad (5)$$

A ve B NxN boyutlu parametre matrisleridir. BEKK modelinde parametre sayısı artması model tahminini zorlaştırmaktadır (Bükerökü, 2019:522).

4. Araştırmamanın Bulguları

Araştırmada, oynaklık tahmini yapılabilmesi için USD, EURO ve BIST 100 endeksi serilerinin birim kök içerip içermediği ve serilerin normal dağılıp dağılmadığı test edilmiş ve sonrasında ARMA modeli seçimi yapılmış, ARCH-LM ve Hata Terimleri Korelogramları testleri uygulanmış ve model karşılaştırması yapılmıştır. USD, EURO ve BIST 100 serilerinin getirisine yönelik koşullu varyans grafikleri oluşturulmuştur. Seriler arası volatilite yayımı incelenmiş, üç seri arasındaki yayım için koşullu kovaryans grafikleri elde edilmiş ve son olarak seriler arası ilişki seviyesi incelenmiştir.

USD, EURO ve BIST 100 fiyat serileri durağan bir yapıda olmadığı için getiri serilerine dönüştürülmüştür. Getiri serileri grafikleri Şekil 1'de yer almaktadır.



Şekil 1. USD, EURO ve BIST 100 serilerine ilişkin getiri grafikleri

Durağanlığı sağlanan getiri grafiklerine bakıldığından, 2001, 2008, 2013 ve 2018 yıllarında saptamların olduğu görülmektedir. Bu yillardaki ortalamadan saptamların yerel ve küresel finansal krizler ve siyasi olaylar sonucunda ortaya çıktığını söylemek mümkündür. Ortalama değerlerde olan getiri serilerinin birim kök test sonuçları Tablo 1'de yer almaktadır.

Tablo 1. Birim kök test sonuçları

RUSD							
	T.	F.	Y.	K. D.	t-i.	O. D.	K.
Sabit	ADF	Düzel	% 1	-3.436782			
			% 5	-2.864269	-21.0740	0.0000	I(0)
			% 10	-2.568275			
	PP	Düzel	% 1	-3.436776			
			% 5	-2.864266	-33.9482	0.0000	I(0)
			% 10	-2.568273			
Trend ve Sabit	ADF	Düzel	% 1	-3.967412			
			% 5	-3.414392	-21.0655	0.0000	I(0)
			% 10	-3.129324			
	PP	Düzel	% 1	-3.967402			
			% 5	-3.414387	-33.9350	0.0000	I(0)
			% 10	-3.129321			

H_0 =Birim Kök Vardır. H_1 =Birim Kök Yoktur.

REUR							
	T.	F.	Y.	K. D.	t-i.	O. D.	K.
Sabit	ADF	Düzel	% 1	-3.436776			
			% 5	-2.864266	-34.7711	0.0000	I(0)
			% 10	-2.568273			
	PP	Düzel	% 1	-3.436776			
			% 5	-2.864266	-34.6290	0.0000	I(0)
			% 10	-2.568273			
Trend ve Sabit	ADF	Düzel	% 1	-3.967402			
			% 5	-3.414387	-34.7603	0.0000	I(0)
			% 10	-3.129321			
	PP	Düzel	% 1	-3.967402			
			% 5	-3.414387	-34.6182	0.0000	I(0)
			% 10	-3.129321			

H_0 =Birim Kök Vardır. H_1 =Birim Kök Yoktur.

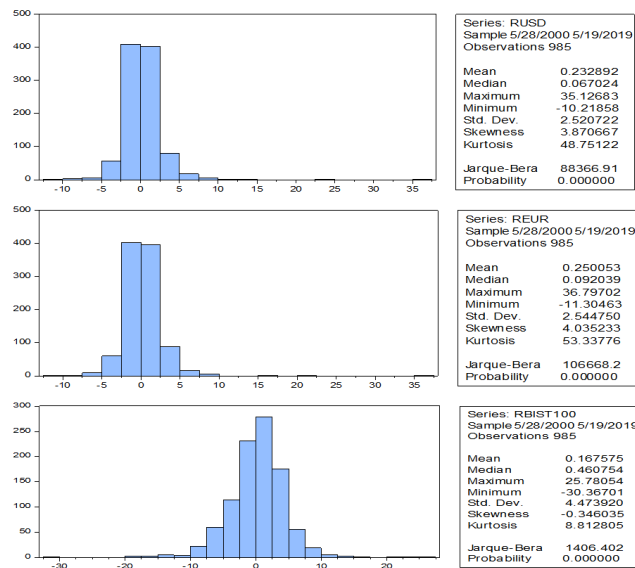
BIST100							
	T.	F.	Y.	K. D.	t-i.	O. D.	K.
Sabit	ADF	Düzel	% 1	-3.436782			
			% 5	-2.864269	-20.5077	0.0000	I(0)
			% 10	-2.568275			
	PP	Düzel	% 1	-3.436776			
			% 5	-2.864266	-31.9038	0.0000	I(0)
			% 10	-2.568273			
Trend ve Sabit	ADF	Düzel	% 1	-3.967412			
			% 5	-3.414392	-20.5017	0.0000	I(0)
			% 10	-3.129324			
	PP	Düzel	% 1	-3.967402			
			% 5	-3.414387	-31.8897	0.0000	I(0)
			% 10	-3.129321			

H_0 =Birim Kök Vardır. H_1 =Birim Kök Yoktur.

T. = Test / F. = Fark / Y. = Yüzde / K. D. = Kritik Değer / t-i. = t-statistiği /

O. D. = Olasılık Değeri / K.= Karar

ADF ve PP birim kök testi sonuçlarına göre olasılık değerlerinin kritik değer olan 0.05'ten küçük çıktıgı sonucuna ulaşılmış ve sıfır hipotezi reddedilmiştir. Bu doğrultuda serilerin düzeyde durağan oldukları I(0) belirlenmiştir. Normal dağılım ve tanımlayıcı istatistik değerlerini içeren histogram grafikleri, Şekil 2'de yer almaktadır.



Şekil 2. Tanimlayıcı istatistik histogram grafiği

Histogram grafiğine incelendiğinde USD, EURO ve BIST100 serisine ait getiri ortalamalarının pozitif olduğu hesaplanmıştır. Serilerin Jargue-Bera olasılık değerleri kritik değer altındadır ve serilerde normal dağılımı karşılayan sıfır hipotezi reddedilmiştir. Çarpıklık katsayıları USD: 3.870, EURO: 4.035, BIST100: -0.346, basıklık katsayıları ise USD: 48.751, EURO: 53.337 ve BIST100: 8.812 olarak hesaplanmıştır. Basıklık, çarpıklık katsayıları ve Jargue-Bera olasılık değerlerine göre serilerin normal dağılımında olmadığı gözlemlenmiştir. Bu yönde AR (p) ve MA (q) değerlerine yönelik 3. gecikmeye kadar kombinasyonlar oluşturulmuştur. Elde edilen değerler Tablo 2'de yer almaktadır.

Tablo 2. Schwarz bilgi kriteri dahilinde ARMA (p/q) seçimi

USD				
p/q	0	1	2	3
0	4.692950	4.700621	4.700014	4.700531
1	4.701630	4.705060	4.698044	4.703785
2	4.698874	4.696218	4.696487	4.706887
3	4.702149	4.702303	4.706587	4.707661
EUR				
p/q	0	1	2	3
0	4.711924	4.715133	4.717253	4.719374
1	4.716621	4.719876	4.717042	4.719671
2	4.716366	4.715423	4.719814	4.718546
3	4.720795	4.721692	4.725675	4.732501
BIST100				
p/q	0	1	2	3
0	5.840389	5.854094	5.852926	5.859788
1	5.854138	5.859180	5.859844	5.864480
2	5.852559	5.859407	5.866264	5.862301
3	5.859372	5.864792	5.862899	5.868750

Her üç seri için de ARMA(0,0) katsayısının en düşük katsayı olduğu tespit edilmiştir. ARMA modeli belirlendikten sonra volatilite tahmini için otokorelasyon ve değişen varyans ve serilerde doğrusal olmayan unsurların varlığının incelenmesi gerekmektedir. Eğer serilerde doğrusal olmayan unsurlar, otokorelasyon ve değişen varyans söz konusu ise oynaklık tahminlemesi yapılmasında ARCH/GARCH türevi modellere ihtiyaç duyulmaktadır. Bu doğrultuda 1, 5 ve 10. gecikme değerlerine yönelik ARCH-LM testi yapılmıştır. Analizde elde edilen sonuçlar Tablo 3'te yer almaktadır.

Tablo 3. ARCH LM Değişen Varyans Test Sonuçları

USD				
ARMA (0,0)	F. İ.	F. İ. A.	G. R ²	R ² A.
1.Gec.	3.070946	0.0800	3.067607	0.0799
5.Gec.	4.114830	0.0011	20.27266	0.0011
10.Gec.	2.579475	0.0044	25.40918	0.0046
EURO				
ARMA (0,0)	F. İ.	F. İ. A.	G. R ²	R ² A.
1.Gec.	1.834925	0.1759	1.835233	0.1755
5.Gec.	6.038749	0.0000	29.46630	0.0000
10.Gec.	3.911730	0.0000	38.02085	0.0000
BIST100				
ARMA (0,0)	F. İ.	F. İ. A.	G. R ²	R ² A.
1.Gec.	82.63930	0.0000	76.37993	0.0000
5.Gec.	18.30628	0.0000	84.18406	0.0000
10.Gec.	12.36833	0.0000	110.8698	0.0000

F. İ.= F İstatistiği / F. İ. A.= F İstatistiği Anlamlılık / G. R² = Gözlenen R² / R² A. = R² Anlamlılık

ARCH-LM testinden elde edilen sonuçlara göre gecikme değerleri için olasılık değerleri kritik değerin altındadır ve sıfır hipotezi reddedilmiştir. Dolayısıyla serilerde değişen varyans sorunu olduğu belirlenmiştir. Oynaklık tahmini için diğer bir koşul olan otokorelasyon varsayımlı Hata Terimleri Korelogramları dâhilinde analiz edilmiştir. Elde edilen sonuçlar Tablo 4'te yer almaktadır.

Tablo 4. Hata terimleri korelogramları

USD					
ARMA (0,0)	1.Gec.	5.Gec.	10.Gec.	20.Gec.	30.Gec.
AC	-0.079	0.097	-0.030	-0.019	-0.031
PAC	-0.079	0.092	-0.028	-0.017	-0.038
Q-İstatistik	6.234	29.762	36.565	45.097	52.358
Olasılık	0.013	0.000	0.000	0.001	0.007
EURO					
ARMA (0,0)	1.Gec.	5.Gec.	10.Gec.	20.Gec.	30.Gec.
AC	-0.104	0.100	-0.025	0.004	-0.016
PAC	-0.104	0.104	-0.019	-0.014	-0.026
Q-İstatistik	10.609	30.936	40.426	55.464	59.990
Olasılık	0.001	0.000	0.000	0.000	0.001
BIST100					
ARMA (0,0)	1.Gec.	5.Gec.	10.Gec.	20.Gec.	30.Gec.
AC	0.279	0.060	0.130	0.162	0.075
PAC	0.279	0.018	0.086	0.061	-0.039
Q-İstatistik	76.672	102.82	165.89	332.47	375.26
Olasılık	0.000	0.000	0.000	0.000	0.000

Tablo 4'te yer alan analiz sonuçları incelendiğinde tüm gecikmeli değerlerde Q istatistiği olasılık değeri kritik değerin altında olduğundan serilerde otokorelasyon sorunu olduğu tespit edilmiştir. Test edilen serilerde doğrusal olmayan unsurlar var ise oynaklık yapısının ortaya konulabilmesi için ARCH/GARCH modelleri kullanılması gerekmektedir. Serilerdeki doğrusal unsurların varlığı Brock, Dechert ve Schienman (BDS) Doğrusallık testi ile analiz edilmiştir. Analizde elde edilen sonuçlar Tablo 5'te yer almaktadır.

Tablo 5. BDS doğrusallık test sonuçları

	B.	B. İ.	S. H.	z-i.	O. D.
USD	2	0.023920	0.002946	8.119840	0.0000
	3	0.044790	0.004680	9.570830	0.0000
	4	0.059245	0.005571	10.63381	0.0000
	5	0.067246	0.005806	11.58256	0.0000
	6	0.069500	0.005598	12.41497	0.0000

	B.	B. İ.	S. H.	z-i.	O. D.	Katsayılar									
						Seri	Modeller	α_0	α_1	α_2	α_3	β_1	β_2	β_3	γ_1
EURO	2	0.027967	0.002888	9.683350	0.0000	BIST 100	ARCH (1)	15.922	0.197	-	-	-	-	-	-
	3	0.053307	0.004588	11.61806	0.0000		ARCH (2)	13.597	0.162	0.168	-	-	-	-	-
	4	0.070368	0.005462	12.88250	0.0000		ARCH (3)	11.411	0.145	0.155	0.148	-	-	-	-
	5	0.079698	0.005692	14.00171	0.0000		$h_t = \alpha_0 + \sum_{t=1}^q \alpha_i u_{t-i}^2$								
	6	0.080729	0.005488	14.70954	0.0000		$h_t = \alpha_0 + \sum_{i=1}^q \alpha_i u_{t-i}^2 + \sum_{i=1}^p \beta_i h_{t-i}$								
	B.	B. İ.	S. H.	z-i.	O. D.		EGARCH (1, 1)	-0.041	0.095	-	-	0.987	-	-0.038	
B. = Boyut / B. İ.= BDS İstatistik / S. H. = Standart Hata / z-i. = z- istatistik / O. D. = Olasılık Değeri															

BDS testi olasılık değerlerinin kritik değer olarak kabul edilen 0.05'ten küçük olduğu ve serilerde doğrusal unsur varlığını içermemiştiğini söyleyen sıfır hipotezi reddedilmiştir. Serilerde doğrusal olmayan unsurlar olduğu ortaya çıkarılmış bu nedenle ARMA modeli yerine ARCH ve GARCH modellerine gerek olduğu belirlenmiştir. Volatilite tahmini modelleri için yapılan analiz sonuçları Tablo 6'da yer almaktadır.

Tablo 6. ARMA (0,0) volatilite tahmin modeli sonuçları

Seri	Modeller	Katsayılar							
		α_0	α_1	α_2	α_3	β_1	β_2	β_3	γ_1
USD	ARCH (1)	3.473	0.398	-	-	-	-	-	-
	ARCH (2)	2.664	0.325	0.228	-	-	-	-	-
	ARCH (3)	2.179	0.241	0.146	0.241	-	-	-	-
	$h_t = \alpha_0 + \sum_{t=1}^q \alpha_i u_{t-i}^2$								
	GARCH (1,1)	0.301	0.168	-	-	0.780	-	-	-
	$h_t = \alpha_0 + \sum_{i=1}^q \alpha_i u_{t-i}^2 + \sum_{i=1}^p \beta_i h_{t-i}$								
USD	TGARCH (1,1)	0.356	0.213	-	-	0.774	-	-	-0.139
$h_t = \alpha_0 + \sum_{i=1}^q \alpha_i u_{t-i}^2 + \gamma_i u_{t-i}^2 d_{t-1} \sum_{i=1}^p \beta_j h_{t-j}$									
USD	APGARCH (1,1)	0.151	0.131	-	-	0.830	-	-	-0.426
$\sigma_t^d = \alpha_0 + \sum_{i=1}^q \alpha_i (\varepsilon_{t-i} + \gamma_i \varepsilon_{t-i})^d + \sum_{i=1}^p \beta_i \sigma_{t-i}^d$									
Katsayılar									
EURO	ARCH (1)	3.242	0.455	-	-	-	-	-	-
	ARCH (2)	2.532	0.343	0.241	-	-	-	-	-
	ARCH (3)	2.165	0.276	0.133	0.212	-	-	-	-
	$h_t = \alpha_0 + \sum_{t=1}^q \alpha_i u_{t-i}^2$								
	GARCH (1,1)	0.399	0.171	-	-	0.749	-	-	-
	$h_t = \alpha_0 + \sum_{i=1}^q \alpha_i u_{t-i}^2 + \sum_{i=1}^p \beta_i h_{t-i}$								
EURO	TGARCH (1,1)	0.445	0.219	-	-	0.742	-	-	-0.127
$h_t = \alpha_0 + \sum_{i=1}^q \alpha_i u_{t-i}^2 + \gamma_i u_{t-i}^2 d_{t-1} \sum_{i=1}^p \beta_j h_{t-j}$									

Tablo 6'da araştırılan modeller uygun değerdeki modellerdir. Tablo dışında tutulan modeller, olasılık değerleri anlamsız olmama veya negatif katsayı taşımama kısıtlarından dolayı raporlanmamıştır. Oynaklı tahmini yapılrken kullanılacak modellerde değişen varyans sorununun çözülmüş olmadığını araştırmak amacıyla ARCH-LM testi tekrar yapılmıştır. Elde edilen sonuçlar Tablo 7'de yer almaktadır.

Tablo 7. ARCH- LM değişen varyans test sonuçları

SERİ	ARCH (1)	1.Gec.	5.Gec.	10.Gec.
USD ARMA(0,0)	F İstatistiği	0.0157	0.3215	0.1808
	F İstatistiği	0.9003	0.9002	0.9976
	Olasılık	0.0157	1.6148	1.8252
	Gözlenen R ²	0.9002	0.8994	0.9975
	ARCH (2)	1.Gec.	5.Gec.	10.Gec.
	F İstatistiği	0.0116	0.1553	0.0838
GARCH (1,1)	F İstatistiği	0.9140	0.9784	0.9999
	Olasılık	0.0116	0.7808	0.8476
	Gözlenen R ²	0.9139	0.9782	0.9999
	R ² Olasılık	0.9066	0.9994	1.0000
	ARCH (3)	1.Gec.	5.Gec.	10.Gec.
	F İstatistiği	0.0137	0.0349	0.0214
EURO ARMA(0,0)	F İstatistiği	0.9067	0.9994	1.0000
	Olasılık	0.0137	0.1758	0.2171
	Gözlenen R ²	0.9066	0.9994	1.0000
	R ² Olasılık	0.9342	1.0000	1.0000
	GARCH (1,1)	1.Gec.	5.Gec.	10.Gec.
	F İstatistiği	0.0068	0.0068	0.0073
ARCH (2)	F İstatistiği	0.9342	1.0000	1.0000
	Olasılık	0.0068	0.0344	0.0746
	Gözlenen R ²	0.9341	1.0000	1.0000
	R ² Olasılık	0.9341	1.0000	1.0000
	ARCH (3)	1.Gec.	5.Gec.	10.Gec.
	F İstatistiği	0.0168	0.3011	0.1545
EURO ARMA(0,0)	F İstatistiği	0.8967	0.9123	0.9988
	Olasılık	0.0169	1.5125	1.5608
	Gözlenen R ²	0.8966	0.9116	0.9987
	R ² Olasılık	0.9147	1.0000	1.0000
	GARCH (1,1)	1.Gec.	5.Gec.	10.Gec.
	F İstatistiği	0.0114	0.0093	0.0089
APGARCH (1,1)	F İstatistiği	0.9148	1.0000	1.0000
	Olasılık	0.0114	0.0468	0.0908
	Gözlenen R ²	0.9147	1.0000	1.0000
	R ² Olasılık	0.9147	1.0000	1.0000
	APGARCH (1,1)	1.Gec.	5.Gec.	10.Gec.
	F İstatistiği	0.0101	0.0131	0.0000
GARCH (1,1)	F İstatistiği	0.9199	0.9999	0.1170
	Olasılık	0.0101	0.0660	1.0000
	Gözlenen R ²	0.9198	0.9999	0.9999
	R ² Olasılık	0.9198	0.9999	0.9999

SERİ	ARCH (1)	1.Gec.	5.Gec.	10.Gec.
	F İstatistiği	0.0250	1.9705	6.2079
	F İstatistiği	0.8743	0.0806	0.0000
	Olasılık	0.0250	9.8140	58.9895
	Gözlenen R ²	0.8742	0.0807	0.0000
	R ² Olasılık			
	ARCH (2)	1.Gec.	5.Gec.	10.Gec.
	F İstatistiği	0.0527	1.1514	5.4197
	F İstatistiği	0.8184	0.3314	0.0000
	Olasılık	0.0528	5.7588	51.8984
	Gözlenen R ²	0.8182	0.3304	0.0000
	R ² Olasılık			
BIST100 ARMA(0,0)	ARCH (3)	1.Gec.	5.Gec.	10.Gec.
	F İstatistiği	0.0107	0.5035	4.2015
	F İstatistiği	0.9174	0.7738	0.0000
	Olasılık	0.0107	2.5265	40.7199
	Gözlenen R ²	0.9173	0.7725	0.0000
	R ² Olasılık			
	GARCH (1,1)	1.Gec.	5.Gec.	10.Gec.
	F İstatistiği	2.7798	0.7895	0.8513
	F İstatistiği	0.0958	0.5573	0.5790
	Olasılık	2.7776	3.9558	8.5353
	Gözlenen R ²	0.0956	0.5558	0.5767
	R ² Olasılık			
	EGARCH (1,1)	1.Gec.	5.Gec.	10.Gec.
	F İstatistiği	2.7049	0.8010	1.0643
	F İstatistiği	0.1004	0.5489	0.3872
	Olasılık	2.7030	4.0136	10.6472
	Gözlenen R ²	0.1002	0.5475	0.3857
	R ² Olasılık			

Analiz sonuçlarına göre tablo dışında kalan modellerde değişen varyans sorunu çözülememiştir. Değişen varyans sorunu giderilen modellerde otokorelasyon sorunun da olmaması beklenmektedir. Hata terimleri korelogramları hesaplanarak otokorelasyon sorunun var olup olmadığı tekrar incelenmiştir. Analiz sonuçları Tablo 8'de yer almaktadır.

Tablo 8. Hata terimleri korelogramları

SERİ	ARCH (1)	1.Gec.	5.Gec.	10.Gec.	20.Gec.	30.Gec.
	AC	-0.004	0.029	-0.003	-0.004	-0.006
	PAC	-0.004	0.029	-0.004	-0.006	-0.007
	Q-İstatistik	0.0158	1.6241	1.8628	2.6514	3.1621
	Olasılık	0.900	0.898	0.997	1.000	1.000
	ARCH (2)	1.Gec.	5.Gec.	10.Gec.	20.Gec.	30.Gec.
	AC	-0.003	0.027	-0.004	-0.005	-0.005
	PAC	-0.003	0.027	-0.005	-0.005	-0.005
	Q-İstatistik	0.0117	0.7897	0.8566	1.2655	1.4533
	Olasılık	0.914	0.978	1.000	1.000	1.000
USD ARMA(0,0)	ARCH (3)	1.Gec.	5.Gec.	10.Gec.	20.Gec.	30.Gec.
	AC	-0.004	0.011	-0.004	-0.004	-0.005
	PAC	-0.004	0.011	-0.004	-0.005	-0.005
	Q-İstatistik	0.0138	0.1779	0.2196	0.3928	0.5248
	Olasılık	0.906	0.999	1.000	1.000	1.000
	GARCH (1,1)	1.Gec.	5.Gec.	10.Gec.	20.Gec.	30.Gec.
	AC	-0.003	-0.000	-0.003	-0.004	-0.004
	PAC	-0.003	-0.000	-0.003	-0.004	-0.004
	Q-İstatistik	0.0069	0.0344	0.0740	0.1389	0.2178
	Olasılık	0.934	1.000	1.000	1.000	1.000
SERİ	ARCH (1)	1.Gec.	5.Gec.	10.Gec.	20.Gec.	30.Gec.
	AC	-0.005	0.047	-0.004	-0.003	-0.006
	PAC	-0.005	0.047	-0.006	-0.004	-0.007
	Q-İstatistik	0.0224	2.3382	2.4655	2.8104	4.1500
	Olasılık	0.881	0.801	0.991	1.000	1.000
	ARCH (2)	1.Gec.	5.Gec.	10.Gec.	20.Gec.	30.Gec.
	AC	-0.004	0.046	-0.004	-0.004	-0.005
	PAC	-0.004	0.046	-0.006	-0.004	-0.006
	Q-İstatistik	0.0133	2.1282	2.1867	2.4344	2.6409
	Olasılık	0.908	0.831	0.995	1.000	1.000
EURO ARMA(0,0)	ARCH (3)	1.Gec.	5.Gec.	10.Gec.	20.Gec.	30.Gec.
	AC	-0.004	0.039	-0.004	-0.004	-0.005
	PAC	-0.004	0.039	-0.005	-0.004	-0.005
	Q-İstatistik	0.0170	1.5320	1.5770	1.7460	1.9304
	Olasılık	0.896	0.909	0.999	1.000	1.000
	GARCH (1,1)	1.Gec.	5.Gec.	10.Gec.	20.Gec.	30.Gec.
	AC	-0.003	0.001	-0.004	-0.003	-0.004
	PAC	-0.003	0.001	-0.004	-0.004	-0.004
	Q-İstatistik	0.0115	0.0468	0.0908	0.1833	0.3096
	Olasılık	0.915	1.000	1.000	1.000	1.000
	APGARCH (1,1)	1.Gec.	5.Gec.	10.Gec.	20.Gec.	30.Gec.
	AC	-0.003	0.004	-0.004	-0.004	-0.005
	PAC	-0.003	0.004	-0.004	-0.004	-0.005
	Q-İstatistik	0.0102	0.0665	0.1178	0.2260	0.3615
	Olasılık	0.920	1.000	1.000	1.000	1.000

SERİ	ARCH (1)	1.Gec.	5.Gec.	10.Gec.	20.Gec.	30.Gec.
	AC	0.013	-0.023	-0.010	-0.047	-0.001
	PAC	0.013	-0.024	-0.007	-0.033	-0.002
	Q-İstatistik	0.1590	9.1141	20.305	28.775	44.072
	Olasılık	0.690	0.105	0.026	0.092	0.047
	ARCH (2)	1.Gec.	5.Gec.	10.Gec.	20.Gec.	30.Gec.
	AC	0.022	-0.011	-0.007	-0.045	0.001
	PAC	0.022	-0.012	-0.004	-0.032	0.002
	Q-İstatistik	0.4730	6.8626	18.010	24.793	38.313
	Olasılık	0.492	0.231	0.055	0.209	0.142
BIST100 ARMA(0,0)	ARCH (3)	1.Gec.	5.Gec.	10.Gec.	20.Gec.	30.Gec.
	AC	0.023	-0.009	-0.011	-0.045	-0.001
	PAC	0.023	-0.009	-0.008	-0.032	-0.000
	Q-İstatistik	0.5348	7.5317	19.785	27.253	40.034
	Olasılık	0.465	0.184	0.031	0.128	0.104
	GARCH (1,1)	1.Gec.	5.Gec.	10.Gec.	20.Gec.	30.Gec.
	AC	-0.001	-0.011	-0.012	-0.022	-0.012
	PAC	-0.001	-0.011	-0.011	-0.016	-0.010
	Q-İstatistik	0.0020	6.4041	10.325	15.011	23.815
	Olasılık	0.965	0.269	0.412	0.776	0.780
	EGARCH (1,1)	1.Gec.	5.Gec.	10.Gec.	20.Gec.	30.Gec.
	AC	-0.006	-0.016	-0.006	-0.024	-0.009
	PAC	-0.006	-0.018	-0.005	-0.020	-0.008
	Q-İstatistik	0.0318	6.2688	10.444	15.470	23.288
	Olasılık	0.859	0.281	0.402	0.749	0.803

Tablo 8' de bulunan test sonuçları incelendiğinde USD serisi için ARCH(1), ARCH(2), ARCH(3), GARCH(1,1); EURO serisi için ARCH(1), ARCH(2), ARCH(3), GARCH(1,1) ve BIST100 serisi için GARCH(1,1) ve EGARCH(1,1) modelleri haricindeki modellerde otokorelasyon sorunu çözülememiştir. Otokorelasyon ve değişen varyans sorunlarını çözen modeller arasında en geçerli modelleri belirlemek için modeller karşılaştırılmıştır. Modellerin karşılaştırılması amacıyla Kök Ortalama Kare Hata (RMSE) katsayıları dikkate alınmıştır. Bu katsayılar yönelik elde edilen bulgular Tablo 9'da yer almaktadır.

Tablo 9. Volatilite modeli karşılaştırmaları

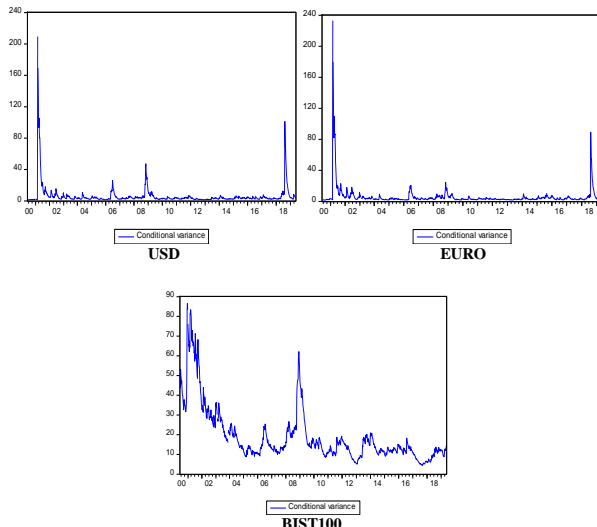
SERİ	Modeller	TIC	RMSE	MAE
USD	ARCH (1)	0.990407	2.528210	1.551419
	ARCH (2)	0.993462	2.528822	1.551526
	ARCH (3)	0.989040	2.527941	1.551376
	GARCH (1,1)	0.982608	2.526720	1.551198
EURO	ARCH (1)	0.974228	2.550390	1.579599
	ARCH (2)	0.973176	2.550198	1.579559
	ARCH (3)	0.973176	2.550198	1.579559
	GARCH (1,1)	0.969327	2.549511	1.579453
BIST100	ARCH (1)	0.926896	4.475521	3.156501
	EGARCH (1,1)	0.932552	4.474355	3.157086
	GARCH (1,1)	0.932552	4.474355	3.157086

USD serisi için en küçük katsayıya sahip (2.526720) ve oynaklılık tahmininde en ideal modelin GARCH(1,1); EURO serisi için (2.549511) ve oynaklılık tahminde en ideal modelin GARCH(1,1) ve BIST100 serisi için en küçük katsayıya sahip (4.474355) ve oynaklılık tahmininde en ideal modelin EGARCH(1,1) modeli olduğu tespit edilmiştir. USD, EURO ve BIST100 endeks serileri için 28.05.2000-28.05.2019 dönemine ait oynaklılık tahmin sonuçları Tablo 10'da yer almaktadır.

Tablo 10. Volatilite tahmin sonuçları

Seri	Modeller	Katsayılar						
		α_0	α_1	α_2	α_3	β_1	β_2	β_3
USD	GARCH (p=1,q=1)	0.301	0.168	-	-	0.780	-	-
EURO	GARCH (p=1,q=1)	0.399	0.171	-	-	0.749	-	-
BIST100	EGARCH (p=1,q=1)	-0.041	0.095	-	-	0.987	-	-0.038

α , β ve γ katsayılarının anlamlı olması, sıfırdan büyük çıkışması ve ARCH ve GARCH sayılarının toplamının da 1'den küçük olması USD ve EURO serileri için GARCH(1,1) modelini geçerli kılmıştır. BIST100 serisinde EGARCH(1,1) modelinin geçerliliği için oynaklı ile getiri arasındaki ilişki negatif ise γ katsayıının negatif olması gerekmektedir ve şartlar sağlanmıştır. Tahmin edilen USD serisi için GARCH(1,1), EURO serisi için GARCH(1,1) ve BIST100 serisi için EGARCH(1,1) modellerine ait koşullu değişim varyans grafikleri Şekil 3'te yer almaktadır.



Şekil 3. USD, EURO ve BIST100 zaman serilerinin koşullu varyansı

Grafikler incelendiğinde, 2001 yılının ilk çeyreğinde, 2007-2008 ve 2018 yıllarında varyansın yüksek çıktıgı gözlemlenmiştir. Yaşanan ekonomik ve siyasi olayların serileri etkilediği söylenebilmektedir. Seriler arası volatilite yayılımı sonucu elde edilen bulgular Tablo 11'de yer almaktadır.

Tablo 11. USD-BIST100, EURO-BIST100, USD-EURO Volatilite Yayılımı

Dönüştürülmüş Varyans Katsayıları

$$\text{GARCH} = M + A1.*\text{RESID}(-1)*\text{RESID}(-1)' + B1.*\text{GARCH}(-1)$$

	Katsayı	Std. Hata	z-İstatistik	Olasılık
Diagonal VEC	M	-0.186319	0.064637	0.0039
	ARCH(BIST100, BIST100)	0.037911	0.010520	3.603810
	ARCH(BIST100, USD)	0.045925	0.014979	3.065942
	ARCH(USD, USD)	0.110918	0.021949	5.053493
	GARCH(BIST100, BIST100)	0.943900	0.013346	70.72553
	GARCH(BIST100, USD)	0.907506	0.024048	37.73795
	GARCH(USD, USD)	0.821726	0.026595	30.89746

Dönüştürülmüş Varyans Katsayıları

$$\text{GARCH}(i) = M(i) + A1(i)*\text{RESID}(i)(-1)^2 + B1(i)*\text{GARCH}(i)(-1)$$

$$\text{COV}(i,j) = R(i,j)*@\text{SQRT}(\text{GARCH}(i)*\text{GARCH}(j))$$

	Katsayı	Std. Hata	z-İstatistik	Olasılık
USD	ARCH(BIST100)	0.051651	0.014017	3.684841
	GARCH(BIST100)	0.933595	0.015788	59.13355
	ARCH(USD)	0.130226	0.026113	4.987076
	GARCH(USD)	0.815576	0.029302	27.83352
BIST100	Rho (BIST100, USD)	-0.538241	0.026011	-20.69280
	Df	4.970921	0.382617	12.99191

Dönüştürülmüş Varyans Katsayıları

$$\text{GARCH} = M + A1.*\text{RESID}(-1)*\text{RESID}(-1)' + B1.*\text{GARCH}(-1)$$

	Katsayı	Std. Hata	z-İstatistik	Olasılık
Diagonal VEC	M	-0.194900	0.080944	-2.407827
	ARCH(BIST100, BIST100)	0.046260	0.013130	3.523228
	ARCH(BIST100, EUR)	0.053223	0.018162	2.930536
	ARCH(EUR, EUR)	0.119205	0.025537	4.667994
	GARCH(BIST100, BIST100)	0.931195	0.016703	55.74968
	GARCH(BIST100, EUR)	0.884739	0.035152	25.16908
	GARCH(EUR, EUR)	0.815417	0.031149	26.17772

Dönüştürülmüş Varyans Katsayıları

$$\text{GARCH}(i) = M(i) + A1(i)*\text{RESID}(i)(-1)^2 + B1(i)*\text{GARCH}(i)(-1)$$

$$\text{COV}(i,j) = R(i,j)*@\text{SQRT}(\text{GARCH}(i)*\text{GARCH}(j))$$

	Katsayı	Std. Hata	z-İstatistik	Olasılık
EURO	ARCH(BIST100)	0.047785	0.013814	3.459114
	GARCH(BIST100)	0.933718	0.016761	55.70765
	ARCH(EUR)	0.132257	0.029327	4.509692
	GARCH(EUR)	0.800578	0.035346	22.64961
BIST100	Rho (BIST100, EUR)	-0.428717	0.029540	-14.51299
	Df	5.367445	0.416781	12.87833

Dönüştürülmüş Varyans Katsayıları

$$\text{GARCH} = M + A1.*\text{RESID}(-1)*\text{RESID}(-1)' + B1.*\text{GARCH}(-1)$$

	Katsayı	Std. Hata	z-İstatistik	Olasılık
Diagonal VEC	M	0.557175	0.090055	6.187051
	ARCH(EUR, EUR)	0.065092	0.011051	5.890241
	ARCH(EUR, USD)	0.064789	0.009310	6.958952
	ARCH(USD, USD)	0.068061	0.010236	6.649222
	GARCH(EUR, EUR)	0.854114	0.027677	30.85984
	GARCH(EUR, USD)	0.849436	0.025012	33.96160
	GARCH(USD, USD)	0.835825	0.025764	32.44200

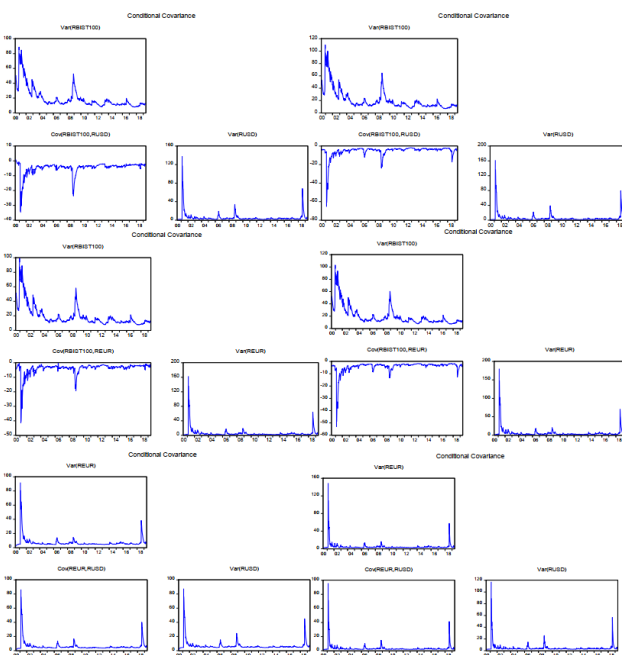
Dönüştürülmüş Varyans Katsayıları

$$\text{GARCH}(i) = M(i) + A1(i)*\text{RESID}(i)(-1)^2 + B1(i)*\text{GARCH}(i)(-1)$$

$$\text{COV}(i,j) = R(i,j)*@\text{SQRT}(\text{GARCH}(i)*\text{GARCH}(j))$$

	Katsayı	Std. Hata	z-İstatistik	Olasılık
USD	M	0.108683	0.031310	3.471229
	ARCH(EUR)	0.711833	0.068071	10.45720
	ARCH(USD)	0.093246	0.026533	3.514295
	GARCH(USD)	0.726890	0.065598	11.08095
BIST100	Rho (EUR, USD)	0.724803	0.016367	44.28375
	Df	5.572715	0.465675	12.35350

Volatilite yayılımı için Diagonal VECH ve CCC modelleri kullanılmıştır. Model sonuçları değerlendirildiğinde her iki modelde de ARCH ve GARCH etkisi görülmektedir. Modellerde GARCH değişkeni seride oluşan şokun kalıcılığını, ARCH değişkeni ise seride oluşan şokun büyüklüğünü ifade etmektedir. Her iki modelde de GARCH ve ARCH değişkenlerinin anlamlı ve pozitif çıkışması, GARCH ve ARCH sayılarının toplamının ise 1'den küçük çıkışması gerekmektedir. Elde edilen sonuçlara bakıldığından her üç ilişkide de bu koşullar sağlanmıştır. USD ve EURO serisinde meydana gelen şok BIST100 endeksinde meydana gelen bir şoktan daha büyük olduğu ve BIST100 endeksinde sistemdeki şokun etkisinin daha çok kaldığı belirlenmiştir. Modellerde volatilite yayılımını Rho değeri vermektedir. Bu doğrultuda USD döviz kurundan BIST100'e doğru -0.53 düzeyinde negatif yönlü, EURO döviz kurundan BIST100'e -0.42 düzeyinde negatif yönlü ve USD döviz kurundan EURO döviz kuruna 0.72 düzeyinde pozitif yönlü volatilite yayılımının olduğu ortaya çıkarılmıştır. Volatilite yayılımları yönünde Diagonal VECH ve CCC MGARCH koşullu kovaryans grafikleri Şekil 4'te yer almaktadır.



Şekil 4. Diagonal-VECH ve CCC MGARCH koşullu kovaryans grafikleri

Varyansın USD döviz kurundan BIST100'e doğru yayılım olduğunda negatif yönlü, EURO döviz kurundan BIST100'e yayılım olduğunda negatif yönde ve yine bu dönemde USD döviz kurundan EURO döviz kuruna yayılım olduğunda ise pozitif yönde oynaklı gösterdiğini söylemek mümkündür. Seriler arası ilişkilerin seviyesini inceleyebilmek için oluşturulan Koşullu Korelasyon Matrisi Tablo 12'de yer almaktadır.

Tablo 12. Koşullu korelasyon matrisi

	BIST100	USD
Diagonal VECH, CCC BIST100	1.000	-0.485
USD	-0.485	1.000
	BIST100	REUR
Diagonal VECH, CCC BIST100	1.000	-0.415
REUR	-0.415	1.000
	EUR	USD
Diagonal VECH, CCC EUR	1.000	0.858
USD	0.858	1.000

Korelasyon matrisine bakıldığından USD serisi ile BIST100 serisi arasında negatif, EURO serisi ile BIST100 serisi arasında negatif ve USD serisi ile EURO serisi arasında pozitif ilişki olduğu ortaya çıkmıştır. Seriler arası en yüksek ilişki seviyesinin USD ve EURO serileri arasında, en düşük ilişki seviyesinin ise USD ve BIST100 serileri arasında olduğu sonucuna ulaşılmıştır.

5. Sonuç

Yapılan araştırmada USD, EURO kurları ve BIST100 endeksine ilişkin volatilite modellemesi gerçekleştirilmiştir. Öncelikle USD, EURO ve BIST100 serileri için ARMA modeli belirlenmiştir. Model oluşturmak için serilerin durağan olması, otokorelasyon ve varyans sorunları içermemesi gerekmektedir. Değişen varyans ve otokorelasyon sorununun çözülemediği modeller analize dâhil edilmemiştir. Volatilite tahminlemesinde uygun olan modeli belirlemek amacıyla model karşılaştırılması yapılmıştır.

Karşılaştırılan modellerde uygun modelin RMSE değerleri arasında en küçük katsayıya sahip olması gerekmektedir. Seriler arası oynaklılığı yapılmış ve USD kuru getiri serileri için GARCH(1,1) modelinin, EURO kuru getiri serileri için GARCH(1,1) modelinin ve BIST100 endeksi getiri serileri için EGARCH(1,1) modelinin en uygun model olduğu belirlenmiştir. Serilerin getirilerine ilişkin koşullu varyans grafikleri incelediğinde 28.05.2000-28.05.2019 tarih aralığında varyansın en yüksek değeri 2001 yılının ilk çeyreğinde görülmüştür. 2001 yılı Şubat ayında nükseden yerel krizin USD, EURO ve BIST100 serilerine etkisi büyük olduğu, yine varyansın yüksek çıktığı 2008 ve 2018 yıllarında ise 2007 yılı ortalarında başlayıp 2008 yılı dünya geneline etki eden küresel krizin ve 2018 yılı ABD ile yaşanan siyasi krizin serileri etkilediği söyleynebilmiştir. Volatilite modellemesi sonrasında seriler arasındaki ilişkileri inceleyebilmek için Diagonal VECH ve CCC modelleri kullanılmıştır.

Her iki modelde görülen ARCH ve GARCH etkisi incelediğinde GARCH değişkeni seride meydana gelen şokun kalıcılığını, ARCH değişkeni ise şokun büyüğünü ifade etmektedir. Her iki modelde de GARCH ve ARCH değişkenlerinin anlamlı ve pozitif, GARCH ve ARCH sayılarının toplamının ise 1'den küçük olması gerekmektedir. Her üç seri arasındaki ilişkide de bu koşullar sağlanmıştır. Volatilite yayılımını gösteren Rho değerlerine göre USD döviz kurundan BIST100'e doğru -0.53 düzeyinde negatif yönlü volatilite yayılımının olduğu; EURO döviz kurundan BIST100'e -0.42 düzeyinde negatif yönlü volatilite yayılımının olduğu ve USD döviz kurundan EURO döviz kuruna 0.72 düzeyinde pozitif yönlü volatilite yayılımının olduğu tespit edilmiştir. Diagonal VECH ve CCC MGARCH modellerinin koşullu korelasyon matrisleri incelediğinde seriler arası en yüksek ilişki seviyesi USD ve EURO serileri arasında, en düşük ilişki seviyesinin ise USD ve BIST100 serileri arasında olduğu belirlenmiştir.

Yazar Katkı Oranı Beyanı

Tüm süreç, yazarlar tarafından ortak katkı sunularak gerçekleştirilmiştir.

Çatışma Beyanı

Çalışmada yazarlar arasında çıkar çatışması yoktur.

Destek Beyanı

Bu çalışma için herhangi bir kurumdan destek alınmamıştır.

Kaynaklar

- Abdalla, S. Z. S., & Winker, P. (2012). Modelling stock market volatility using univariate GARCH models: evidence from Sudan and Egypt. *International Journal of Economics and Finance*, 4(8), 161-176.
- Anghelache, G. V., Kralik, L. I., Acatrinei, M., & Pete, S. (2014). Influence of the EU accession process and the global crisis on the CEE stock markets: a multivariate correlation analysis. *Romanian Journal of Economic Forecasting*, 17(2), 35-52.
- Başçı, E. S. (2011). İMKB mali ve sinai endeksleri'nin 2002-2010 dönemi için günlük oynaklığının karşılaştırmalı analizi. *Dokuz Eylül Üniversitesi İşletme Fakültesi Dergisi*, 12(2), 187-199.
- Bozkuş, S. (2005). Risk ölçümünde alternatif yaklaşımlar: riske maruz değer (var) ve beklenen kayıp (es) uygulamaları. *Dokuz Eylül Üniversitesi İktisadi ve İdari Bilimler Fakültesi Dergisi*, 20(2), 27-45.
- Büberkökü, Ö. (2019). BIST 30 endeksi ve Dolar-TL kuru için futures kontratlara dayalı optimal hedge rasyolarının ve hedging etkinliğinin

- incelenmesi: kapsamlı bir analiz. *Finans Ekonomi ve Sosyal Araştırmalar Dergisi*, 4(4), 514-544.
- Demirgil, H., & Gök, İ. Y. (2014). Türkiye ve başlıca AB pay piyasaları arasında asimetrik volatilite yayılımı. *Yönetim ve Ekonomi Araştırmaları Dergisi*, 23, 315-340.
- Erjavec, N., & Cota, B. (2007). Modeling stock market volatility in Croatia. *Economic Research - Ekonomika Istraživanja*, 20(1), 1-7.
- Gök, İ. Y., & Kalayci, Ş. (2014). BIST 30 spot ve futures piyasalarında günüç fiyat kesfi ve volatilite yayılımı. *Süleyman Demirel Üniversitesi İktisadi ve İdari Bilimler Fakültesi Dergisi*, 19(3), 109-133.
- Hai, V. T. T., Albert K., & Zhang, Z. (2012). Measuring asymmetry and persistence in conditional volatility in real output: evidence from three east asian tigers using a multivariate GARCH approach. *Applied Economics*, 45(20), 2909-2914.
- Inagaki, K. (2007). Testing for volatility spillover between the British Pound and the Euro. *Research in International Business and Finance*, 21(2), 161-174.
- İşçioglu, F., & Gülay, E. (2018). ABD Doları/Türk Lirası döviz kurunun otoregresif koşullu değişen varyans modelleri ile incelenmesi: Türkiye örneği. *Uluslararası İktisadi ve İdari İncelemeler Dergisi*, 20, 151-168.
- Kendirli, S., & Karadeniz, G. (2012). 2008 kriz sonrası İMKB 30 endeksi volatilitesinin genelleştirilmiş ARCH modeli ile tahmini. *Sütçü İmam Üniversitesi İİBF Dergisi*, 95-104.
- Kılıç, R., & Dilber, C. (2017). Türkiye'deki enflasyon ve dolar kuru volatilitesinin bist-100 endeksi oynaklığı üzerindeki etkisi. *Çankırı Karatekin Üniversitesi Sosyal Bilimler Enstitüsü Dergisi*, 8(1), 164-174.
- Miyakoshi, T. (2003). Spillovers of stock return volatility to Asian equity markets from Japan and the US. *Journal of International Financial Markets, Institutions and Money*, 13(4), 383-399.
- Nagayasu, J. (2004). The effectiveness of Japanese foreign exchange interventions during 1991–2001. *Economics Letters*, 84(3), 377-381.
- Nyoni, T. (2018). Modeling and forecasting inflation in Zimbabwe: a generalized autoregressive conditionally heteroskedastic (GARCH) Approach. *MPRA*, Paper No. 88132, 1-30.
- Rossi, E., & Spazzini, F. (2010). Model and distribution uncertainty in multivariate GARCH estimation: a monte carlo analysis. *Computational Statistics and Data Analysis*, 54, 2786-2800.
- Su, E., & Knowles, T. W. (2006). Asian pacific stock market volatility modeling and value at risk analysis. *Emerging Markets Finance and Trade*, 42(2), 18-62.
- Topaloğlu, E. E. (2019). "CBOE VIX endeksi ile OECD ülke borsaları arasındaki volatilite yayılımı CCC-MGARCH modeli ile ampirik bir araştırma, *Ankara Hacı Bayram Veli Üniversitesi İktisadi ve İdari Bilimler Fakültesi Dergisi*, 21(3), 574-595.
- Topaloğlu, E. E. (2020). Borsa İstanbul pay endekslерinin volatilite yapısı ve volatilite yayılımı: GARCH ve MGARCH modelleri ile BİST sinai ve mali endeksleri örneği. *Dumlupınar Üniversitesi Sosyal Bilimler Dergisi*, (63), 17-38.
- Tseng, C. H., Cheng, S. T., Wang, Y. H., & Peng, J. T. (2008). Artificial neural network model of the hybrid EGARCH volatility of the Taiwan stock index option prices. *Physica A*, 387, 3192-3200.
- Ural, M., & Demireli, E. (2015). CDS getirilerinin APGARCH modellemesi. *Ekonominik ve Sosyal Araştırmalar Dergisi*, 11(2), 171-182.
- Yaman, M., & Koy, A. (2019). ABD doları / Türk lirası döviz kuru volatilitesinin modellenmesi: 2001-2018 ve 2001-2019 dönemleri arasında karşılaşturma bir analiz. *Muhasebe ve Finans İncelemeleri Dergisi*, 2(2), 118-129.
- Yu, J. (2002). Forecasting volatility in the New Zealand stock market. *Applied Financial Economics*, 12(3), 193-202.